

Как видно из графика, опытные точки удовлетворительно согласуются с кривой распределения температуры в пограничном слое по закону степени $1/7$.

Автор благодарит А. И. Леонтьева, Э. П. Волчкова и Е. Г. Зауличного за руководство и помощь в работе.

Поступила 24 II 1969

ЛИТЕРАТУРА

1. Лойцянский Л. Г. Механика жидкости и газа. М., Гостехиздат, 1957.
2. Клаузер Ф. Турбулентный пограничный слой. В сб.: «Проблемы механики», М., Изд-во иностр. лит., 1959.
3. Кутателадзе С. С., Леонтьев А. И. Турбулентный пограничный слой сжимаемого газа. Новосибирск. Изд-во СО АН СССР, 1962.
4. Волчков Э. П., Левченко В. Я. Тепловой турбулентный пограничный слой на плоской пластине с теплоизолированным участком. Инж.-физ. ж., 1965, № 6.
5. Эккерт Э. Р., Дрейк Р. М. Теория тепло-и массообмена. М.—Л., Госэнергоиздат, 1961.
6. Термомассообмен и трение в турбулентном пограничном слое. Новосибирск, Изд-во СО АН СССР, 1964.

ЧИСЛЕННЫЙ АНАЛИЗ УСТОЙЧИВОСТИ ПЛОСКОГО ТЕЧЕНИЯ ПУАЗЕЙЛЯ

В. А. Сапожников, В. Н. Штерн

(Новосибирск)

Исследование устойчивости плоско-параллельных течений вязкой несжимаемой жидкости с помощью уравнения Орра — Зоммерфельда в последнее время находит все большее применение как для построения нейтральных кривых и нахождения критических чисел Рейнольдса [1], так и для первых попыток теоретического предсказания турбулентных профилей осредненной скорости [2].

Математическая задача сводится к отысканию собственных значений для уравнения

$$\varphi^{IV} - 2\alpha^2\varphi'' + \alpha^4\varphi = i\alpha R [(u - c)(\varphi'' - \alpha^2\varphi) - u''\varphi] \quad (1)$$

с однородными граничными условиями для функции φ . Здесь $u = u(y)$ — профиль скорости исследуемого на устойчивость течения; $\varphi = \varphi(y)$ — комплексная амплитуда функции тока возмущенного движения, имеющей вид $\varphi(y) \exp[i\alpha(x - ct)]$; α — волновое число; R — число Рейнольдса; c — искомое собственное значение. При $\operatorname{Im} c > 0$ имеет место экспоненциальный рост возмущений (неустойчивость), при $\operatorname{Im} c < 0$ — затухание.

До сих пор все численные методы позволяли проводить расчеты собственных чисел уравнения (1) только для сравнительно небольших значений αR — не более 10^4 — 10^5 .

В работе [3] предложен способ вычисления собственных значений, который позволяет практически снять ограничения на величину αR и получить собственные значения с заданной точностью.

Целью данной работы является: 1) показать эффективность метода [3] на примере исследования устойчивости течения Пуазейля в плоском канале, где есть широкая возможность сравнения с результатами других авторов; 2) сопоставить результаты численных и асимптотических методов в широком диапазоне значений αR ; 3) заполнить некоторый пробел в исследовании устойчивости плоского течения Пуазейля — выявить зависимость собственного значения от волнового числа α . Последний анализ, имеющий самостоятельную ценность, может быть использован при изучении нелинейной устойчивости течения Пуазейля.

Для расчета собственных значений использовался алгоритм [3], но несколько модифицированный. Интегрирование системы уравнений проводилось методом Рунге — Кутта с автоматическим выбором шага и фиксированной относительной точностью. Результаты, относящиеся к нейтральной кривой, получены с пятью верными значениями цифрами, остальные результаты не менее чем с тремя.

Все результаты в дальнейшем представлены в безразмерных параметрах, построенных по средней (расходной) скорости, полуширине канала и молекулярной вязкости. Собственное значение представляется в виде: $c = X + iY$.

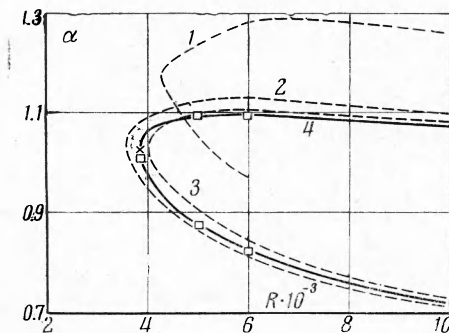
На фиг. 1 представлен «носик» нейтральной кривой, подсчитанный авторами (кривая 4) для сопоставления с другими результатами, полученными как асимптотическими (кривая 1 — [4], 2 — [1], 3 — [5]), так и численными методами (крестики данные работы [6], квадратики — [7]).

На фиг. 1 видно, что численные расчеты дают несколько отличные результаты по сравнению с расчетами, использующими различные асимптотические приближения.

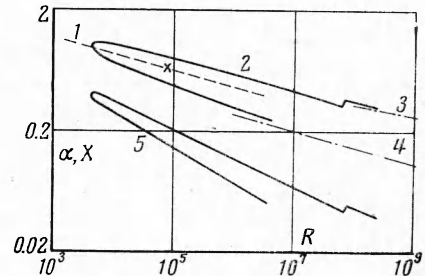
С другой стороны, все встреченные в литературе численные результаты с точностью, допускаемой графиком, совпадают с результатами авторов. Например, для критической точки нейтральной кривой получено

	R_*	α_*	X	Y
[7]	3848.08	1.02071	0.39603	0.00000
Авторы	3848.15	1.02041	0.39598	$-0.6 \cdot 10^{-8}$

На фиг. 2 представлена нейтральная кривая (кривая 2), рассчитанная авторами до $R = 2.5 \cdot 10^8$. Цель этих расчетов — в первую очередь демонстрация эффективности метода. Расчеты проводились на ЭВМ БЭСМ-6. Нейтральные точки находились методом секущих. Для нахождения одной нейтральной точки насчитывалось 3—5 собственных значений. Время вычисления одного собственного значения в районе носика не превосходило секунды.



Фиг. 1



Фиг. 2

Численные расчеты в точности повторили результаты асимптотической теории. Нейтральная кривая в таком широком диапазоне чисел Рейнольдса, полученная асимптотическими методами, представлена в обзорной работе [8]. Штрих-пунктирными линиями на фиг. 2 показаны асимптоты. Линия для верхней и нижней ветвей нейтральной кривой по данным [8]: ветвь 3 — $\alpha = (400 / R)^{1/11}$, ветвь 4 — $\alpha = (142 / R)^{1/7}$. Как асимптотические, так и численные расчеты указывают на «ступеньку» на верхней ветви при $R = 0.7086 \cdot 10^8$. Такая же ступенька и в зависимости для фазовой скорости X (кривая 5). Это объясняется в асимптотической теории петлей у функции Титтена [8]. Пунктирной линией на фиг. 2 (кривая 1) нанесена зависимость $\alpha(R)$ вдоль хребта $\max_{\alpha} Y(R)$, которую с точностью до процента для $R > 100$ можно аппроксимировать соотношением $\alpha = 10^{10/3} R^{-1/7}$. Хребет имеет вершину (отмеченную на фиг. 2 крестом) с параметрами $R = 74 \cdot 10^3$, $\alpha = 0.678$, $X = 0.1897$, $Y = 0.01577$, после которой Y уменьшается примерно по закону $Y = 1 / \pi (\alpha R)^{-1/4}$.

Отметим, что это значительно расходится с [1], где приведены линии уровня для $Y > 0$, полученные на основе асимптотической теории. При уменьшении R вдоль кривой 1 на фиг. 2 α стремится к 2.81, что соответствует его значению для неподвижной жидкости.

Авторы были вынуждены отказаться от табличного представления результатов ввиду большого их объема и малой наглядности. Ниже приведены лишь значения для конечных точек нейтральной кривой:

	R	α	X	Y
Верхняя ветвь	$0.250 \cdot 10^9$	0.310	0.0371	$-0.227 \cdot 10^{-6}$
Нижняя ветвь	$0.290 \cdot 10^7$	0.254	0.0538	$-0.172 \cdot 10^{-4}$

Асимптотическая теория Линя дает данные, которые графически не отличаются от численных результатов авторов уже при $R \geq 10^5$.

Представляет интерес выявить зависимость собственного значения от волнового числа α . Чтобы исследовать эту зависимость во всем диапазоне волновых чисел от нуля до бесконечности, необходимо сочетать численные расчеты с асимптотическим описанием для весьма малых и весьма больших значений α .

Нетрудно убедиться, что при произвольном профиле $u(y) \in C_2$ для первого собственного значения справедливы асимптотические зависимости (фиг. 3)

$$Y = -\pi^2 / \alpha R \quad (\text{малые } \alpha, \text{ кривая 6}) \quad (2)$$

$$Y = -\alpha / R \quad (\text{большие } \alpha, \text{ кривые 7}) \quad (3)$$

При этом предельные значения фазовой скорости X будут зависеть от вида профиля, например, для параболы Пуазейля $X = 0.62$.

На фиг. 3 сплошными линиями представлены численные результаты для зависимостей X и Y от α при $R = 10^2, 10^3, 10^4$ (соответственно кривые 1, 2, 3).

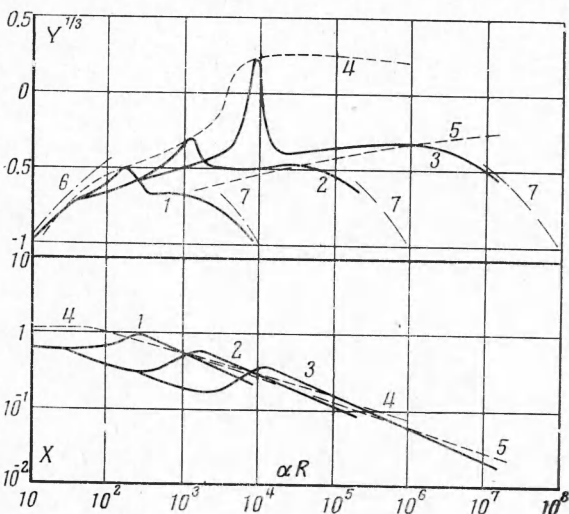
При фиксированном R $Y(\alpha)$ имеет в общем случае два локальных максимума. Один из них достигается при α порядка единицы и, начиная с $R = 3848$, поднимается над нулевым уровнем, формирует нейтральную кривую и отвечает за неустойчивость (кривая 4). Другой локальный максимум существует при $R \geq 164$, расположен значительно ниже и достигается при α порядка десятков и сотен (кривая 5). Для зависимости 4 при малых α справедливы соотношения $X = 1.13$, $\alpha R Y = -12.96$. При больших α вдоль зависимостей 4, 5 с хорошей точностью выполняются соответственно

$$c \approx 7.5 (\alpha R)^{-1/3} + i\pi^{-1} (\alpha R)^{-1/4} \quad (4)$$

$$c \approx (\alpha R)^{-1/3} (2\pi - i 3.86) \quad (5)$$

Отметим, что при выходе $Y(\alpha)$ на асимптотические зависимости (3) фазовые скорости хорошо описываются соотношением

$$X \approx \pi^{3/2} R^{-1/2} \alpha^{-2/5} \quad (6)$$



Фиг. 3

(Формулы (4) — (6) получены эмпирически на основе численных экспериментов.)

Таким образом, в рассмотренном диапазоне чисел R собственные значения (1) для параболы Пуазейля будут определены.

В заключение авторы приносят глубокую благодарность М. А. Гольдштику за внимание к работе и ценные советы.

Поступила 31 XII 1968

ЛИТЕРАТУРА

- Линь Цзя-цзяо. Теория гидродинамической устойчивости. М., Изд-во иностр. лит., 1958.
- Гольдштик М. А. Принцип максимальной устойчивости осредненных турбулентных течений. Докл. АН СССР, 1968, т. 182, № 5.
- Гольдштик М. А., Сапожников В. А. Устойчивость ламинарного потока в присутствии поля массовых сил. Изв. АН СССР, МЖГ, 1968, № 5.
- Короткин А. И. Устойчивость плоского течения Пуазейля при наличии упругих границ. ПММ, 1965, т. 29, вып. 6.
- Lock R. C. The stability of the flow of an electrically — conducting fluid between parallel planes under a transverse magnetic field. Proc. Roy. Soc., 1955, A 233, No. 1192.
- Thomas L. H. The stability of plane Poiseuille flow. Phys. Rev., 1953, vol. 91, No. 4.
- Reynolds W. C., Potter M. C. Finite — amplitude instability of parallel shear flows. J. Fluid Mech., 1967, vol. 27, pt. 3.
- Reid W. H. The stability of parallel flows. Basic development in Fluid dynamics. Acad. Press, New York — London, 1965, vol. 1.